

FIG. 1

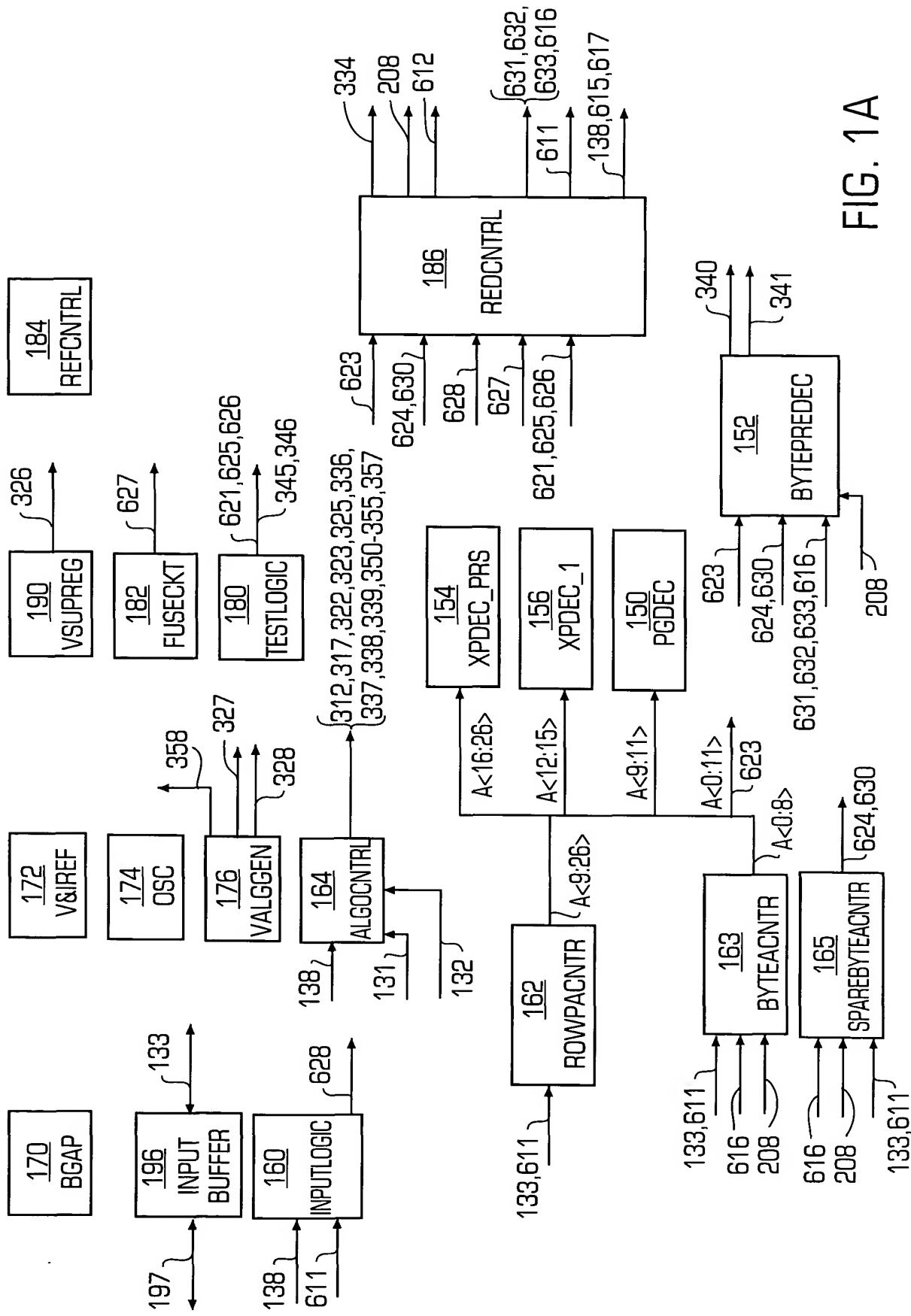
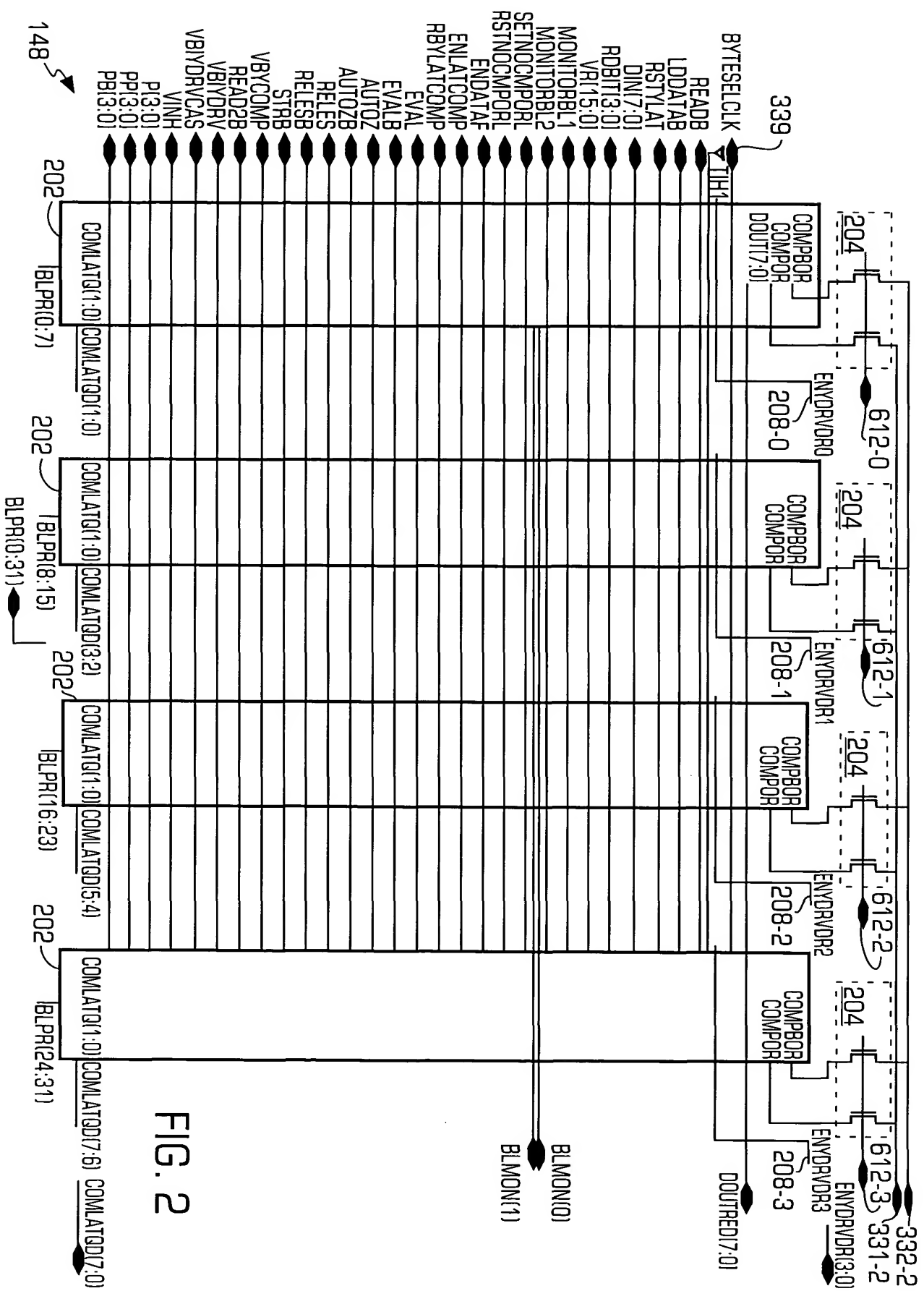


FIG. 1A





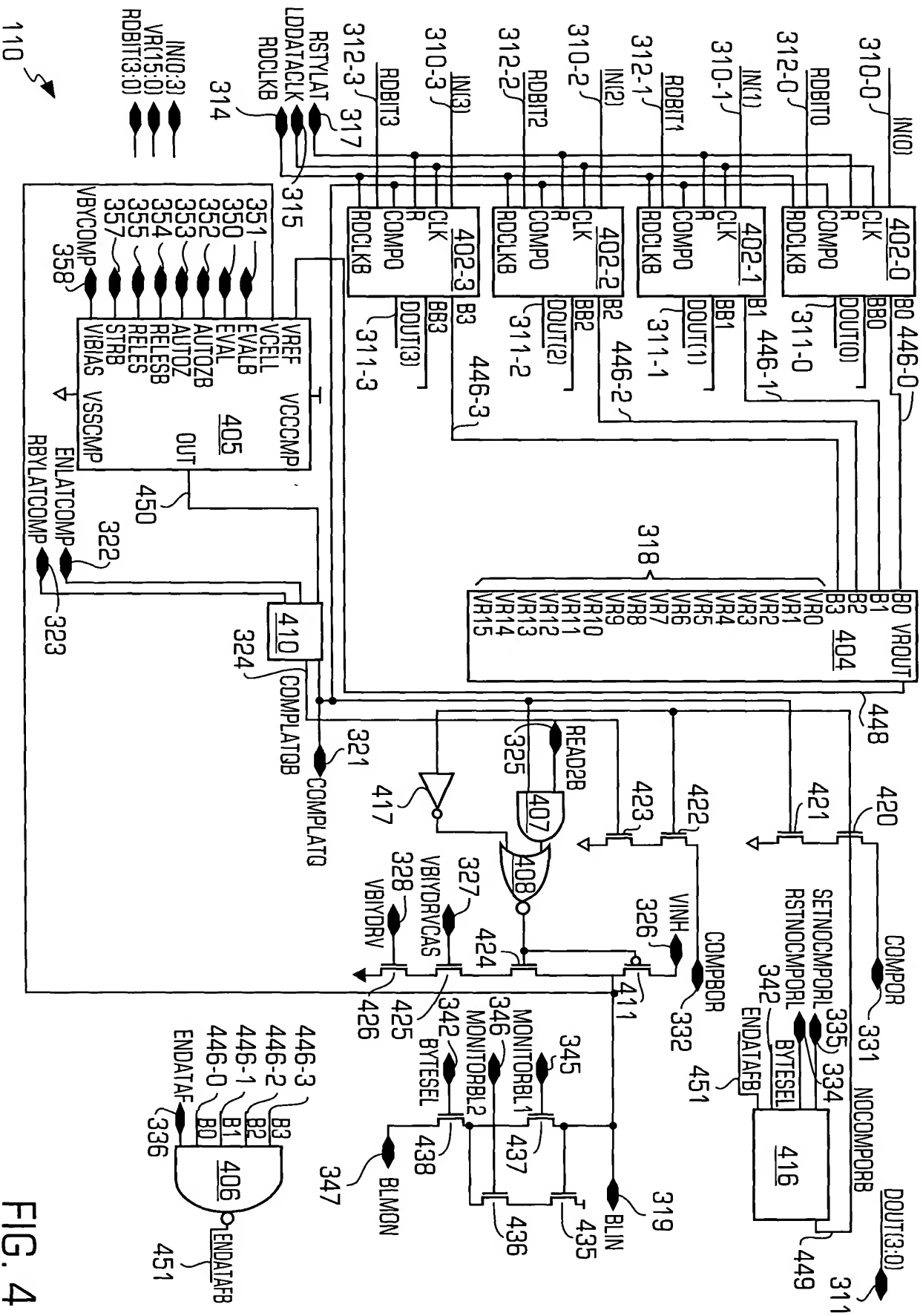


FIG. 4

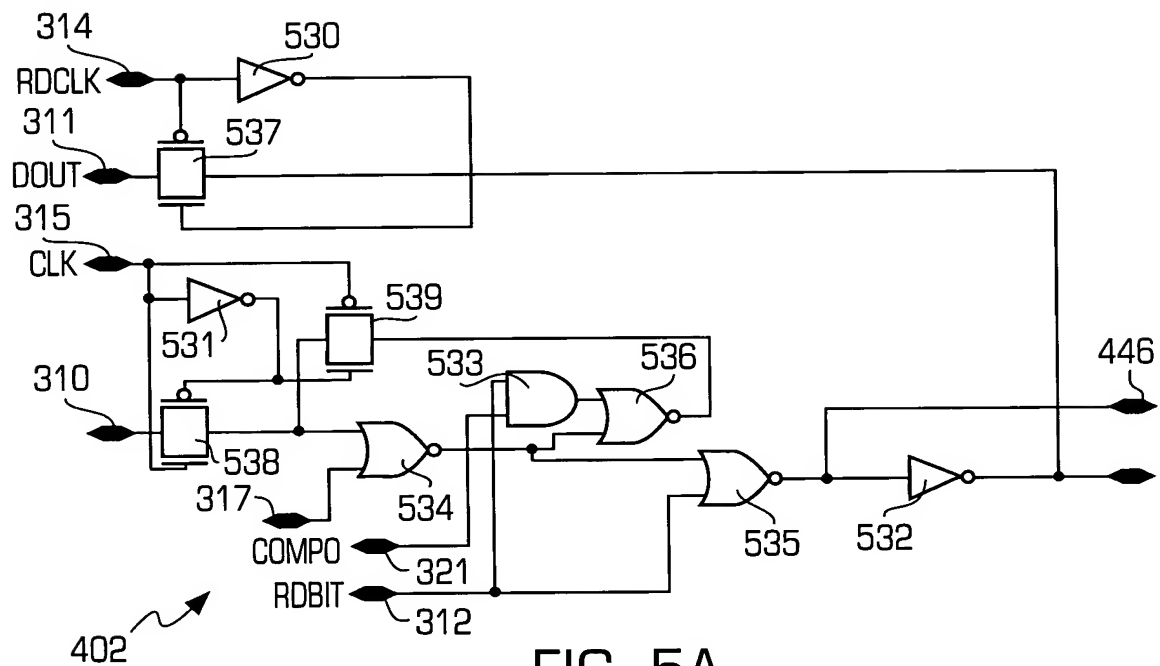


FIG. 5A

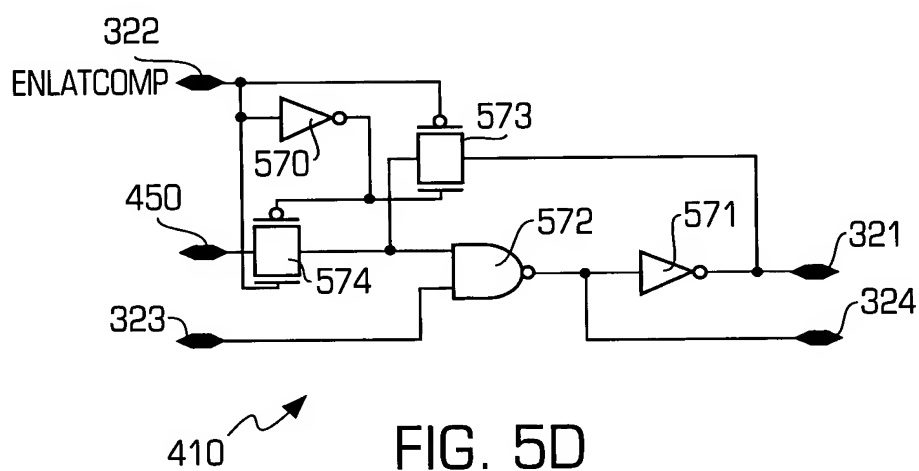
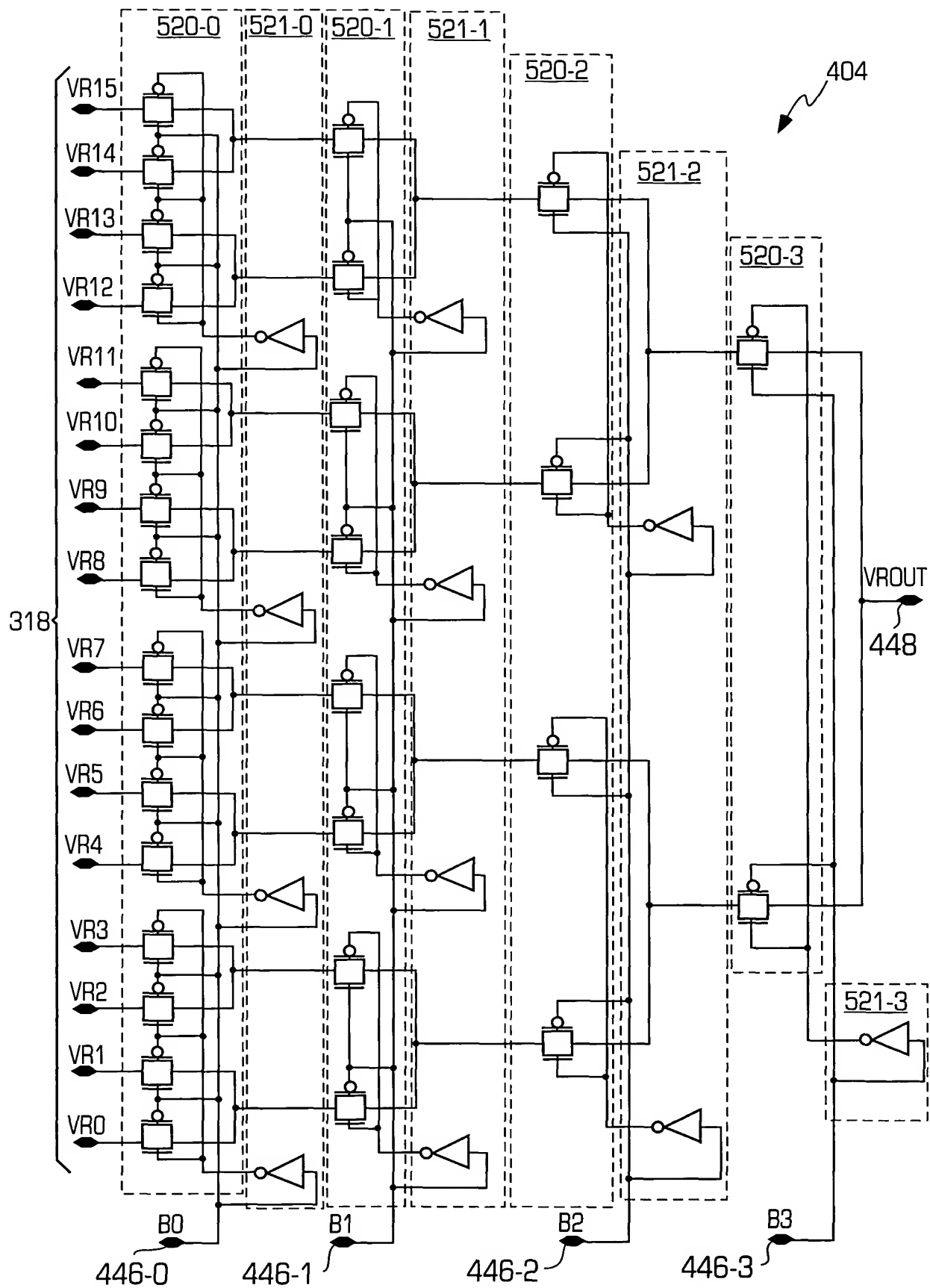


FIG. 5B



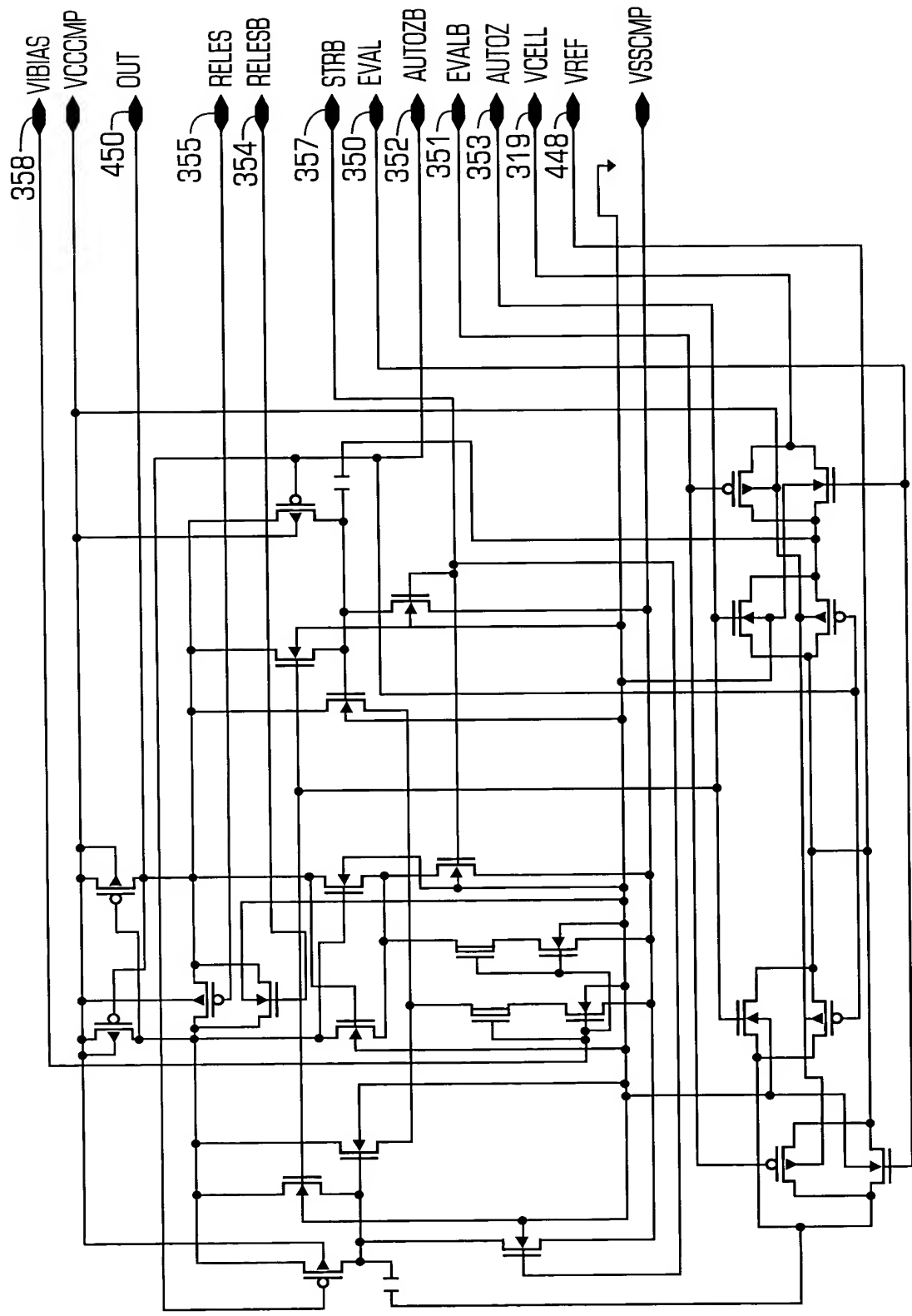


FIG. 5C

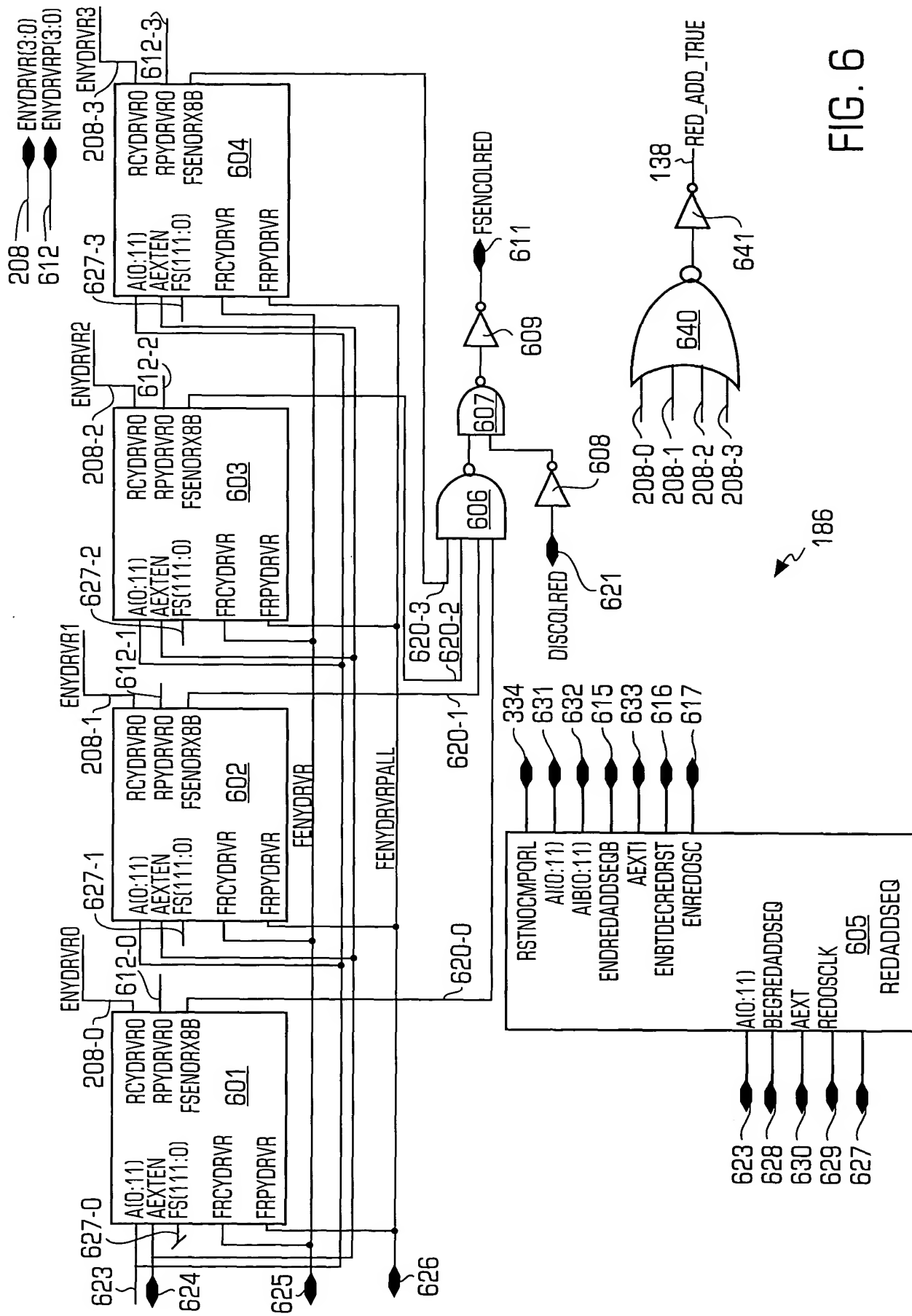


FIG. 6

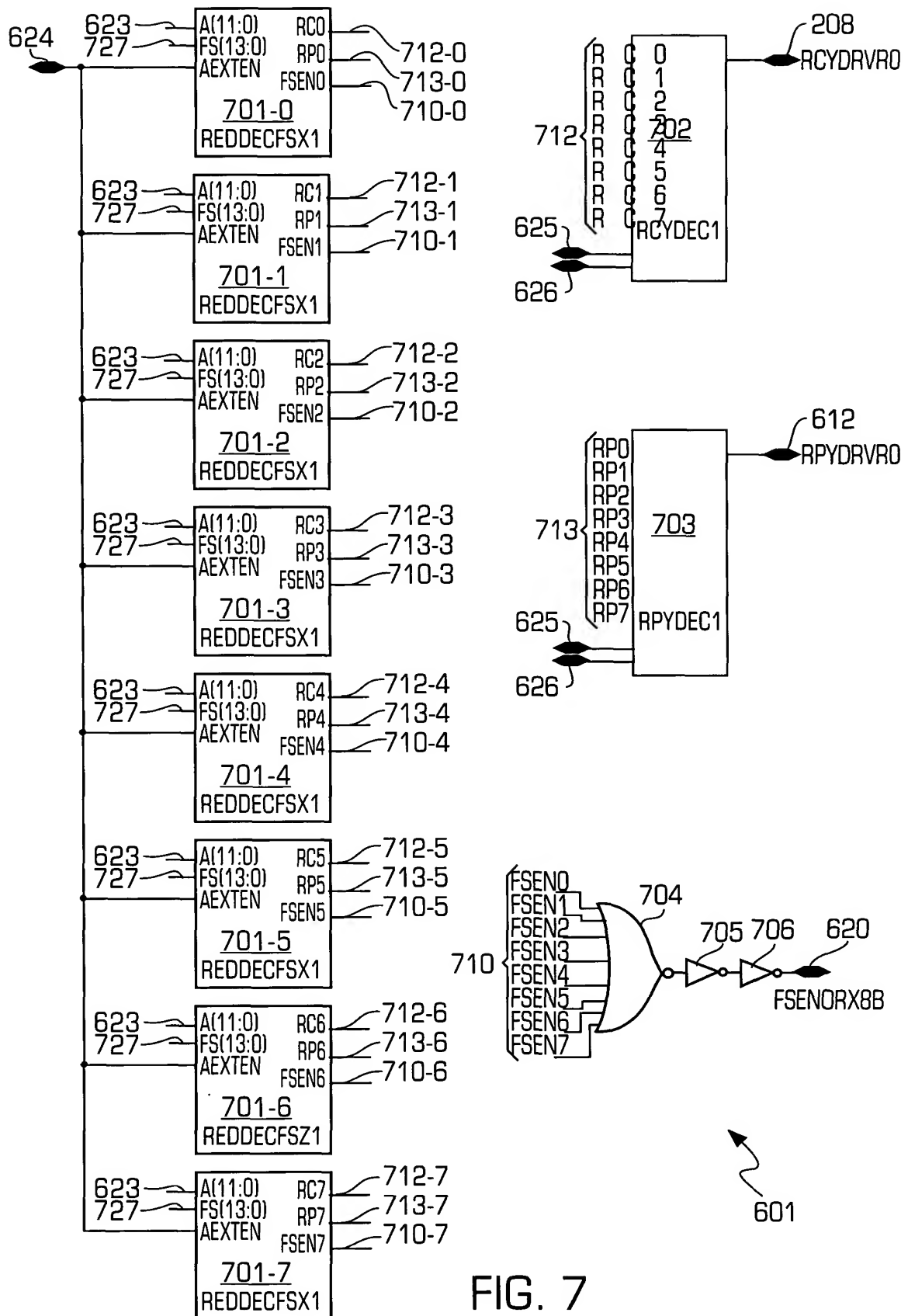


FIG. 7

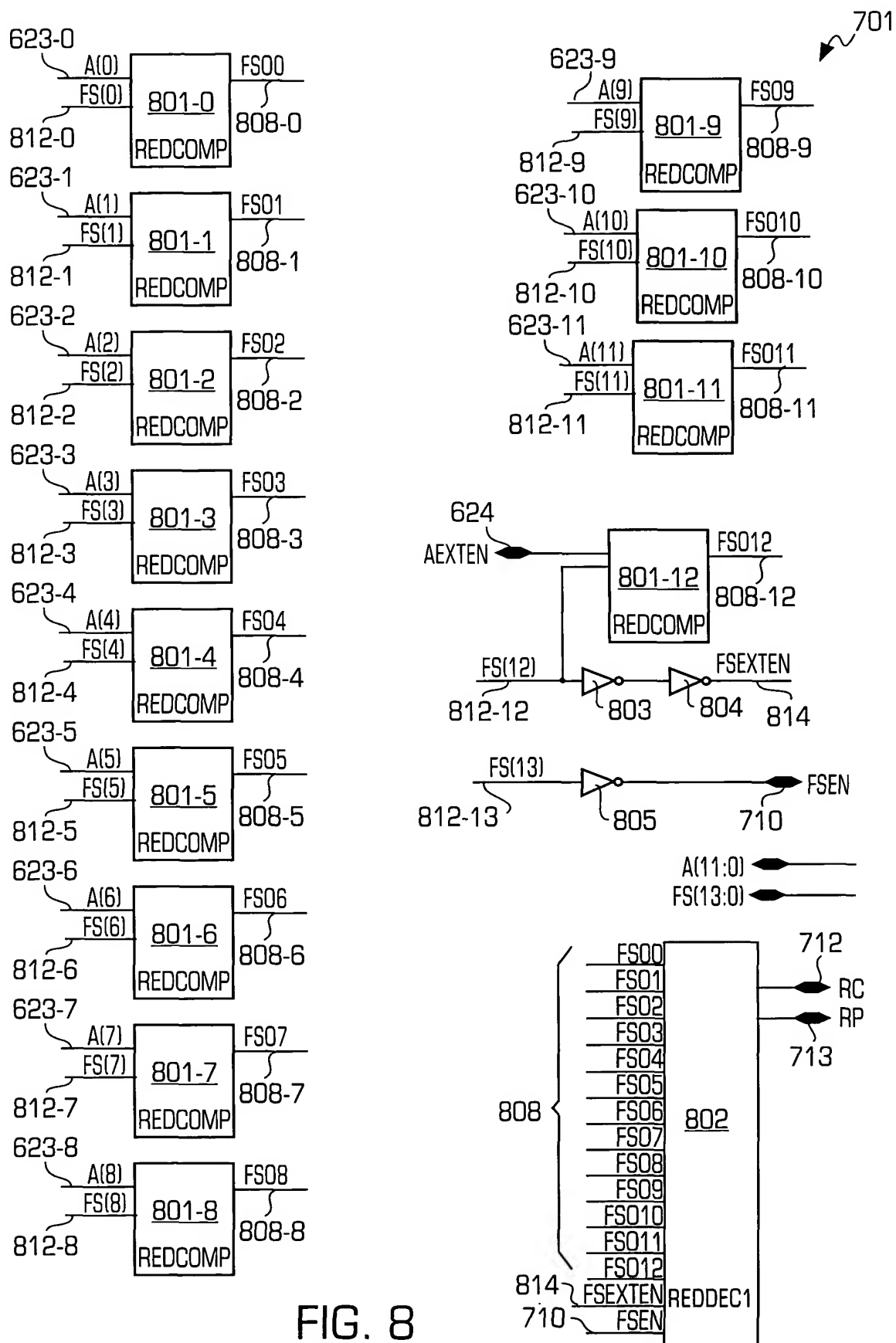


FIG. 8

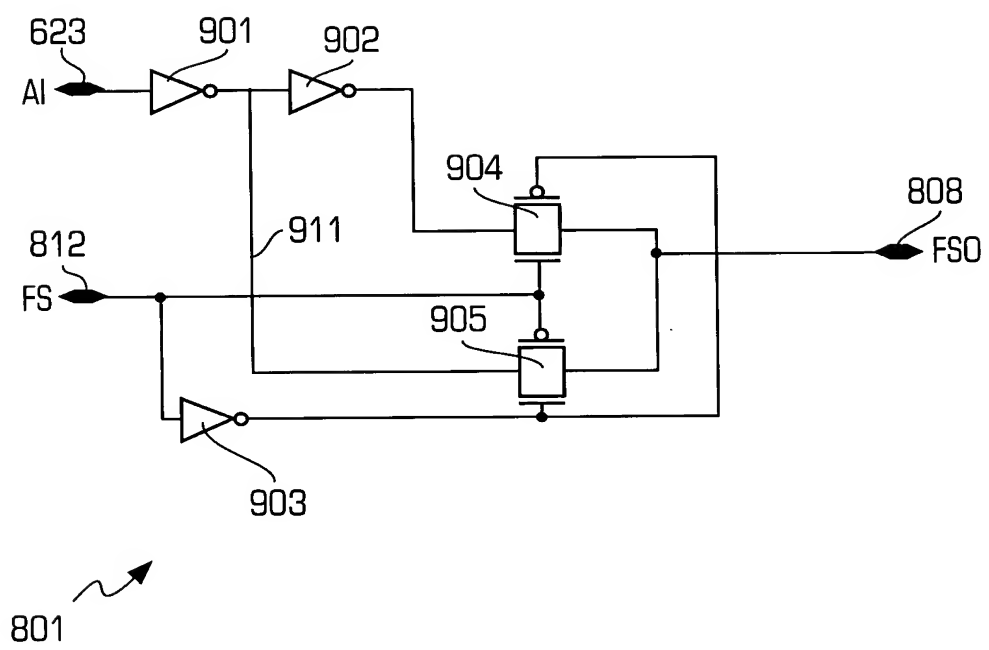
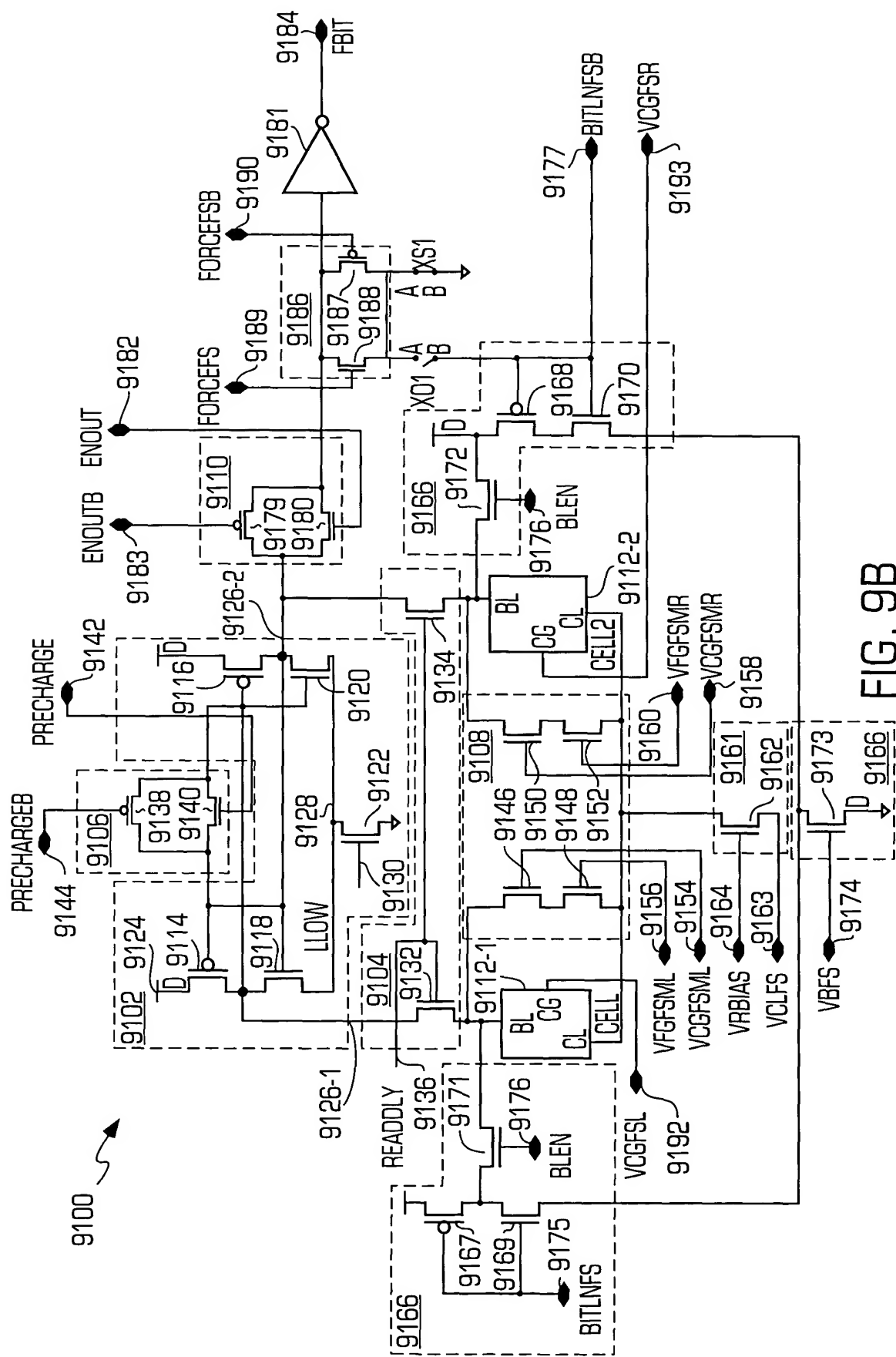


FIG. 9A





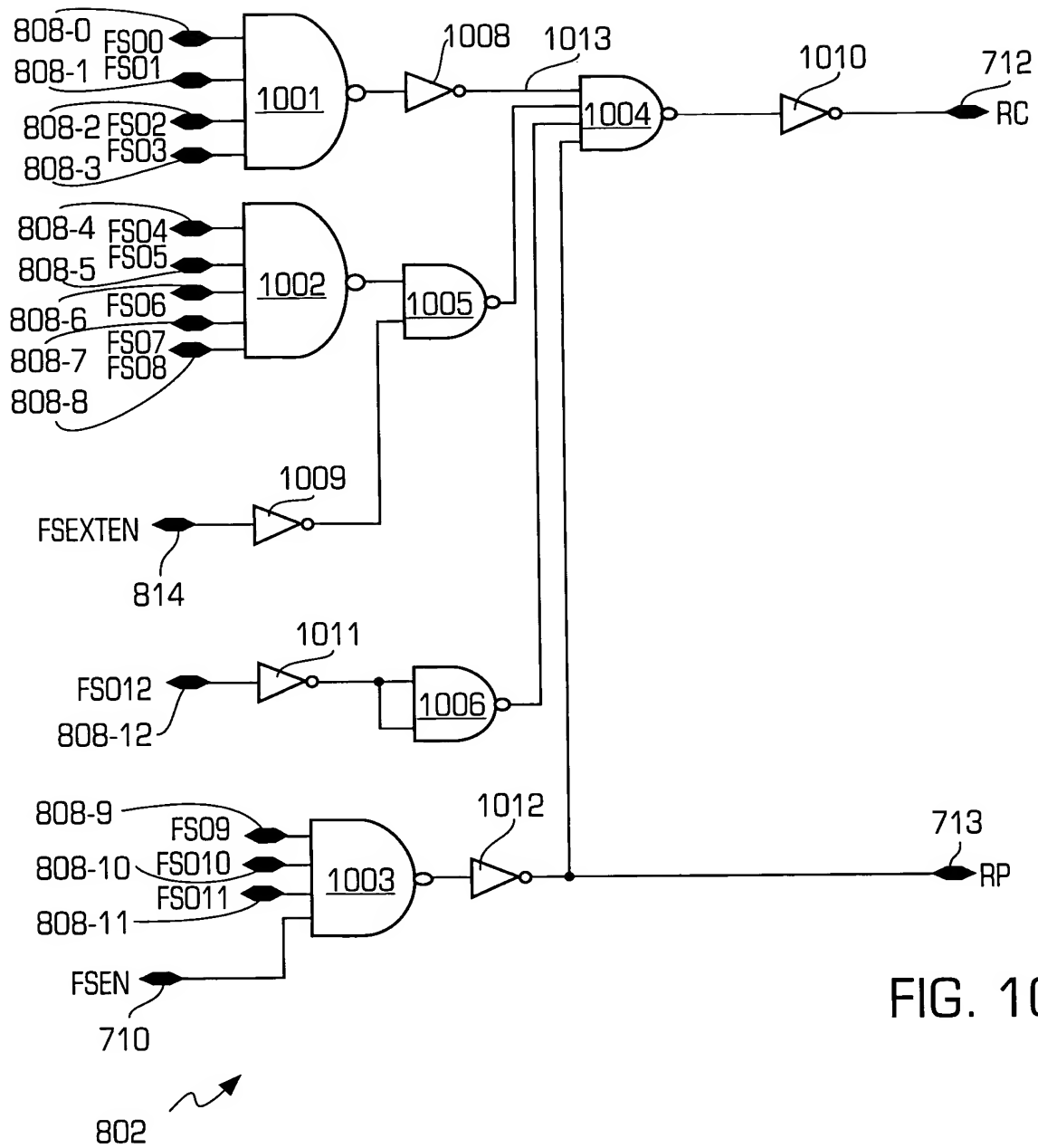


FIG. 10

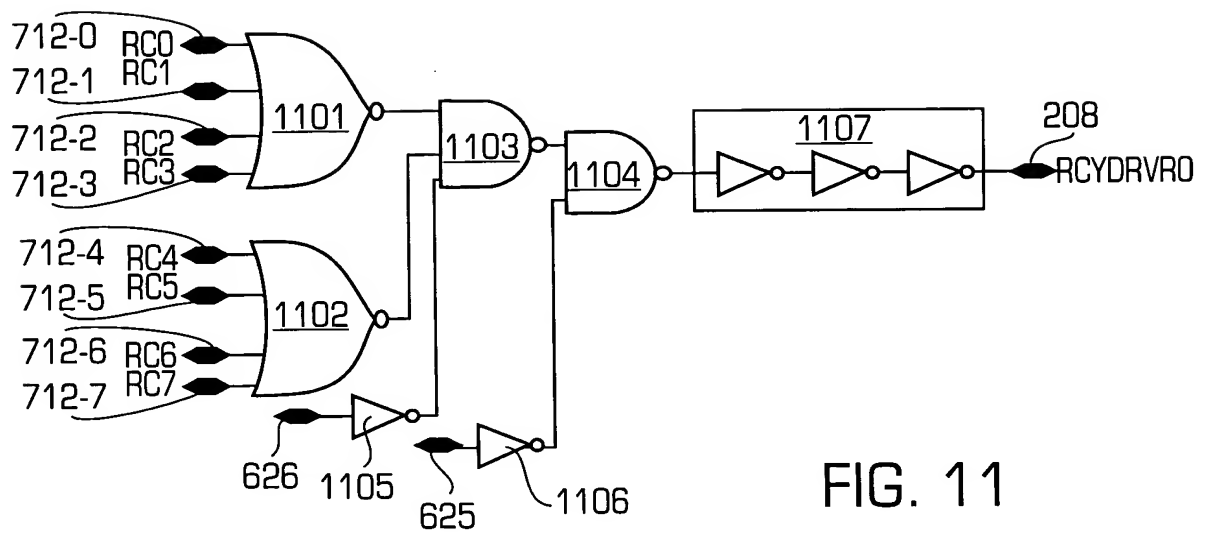


FIG. 11

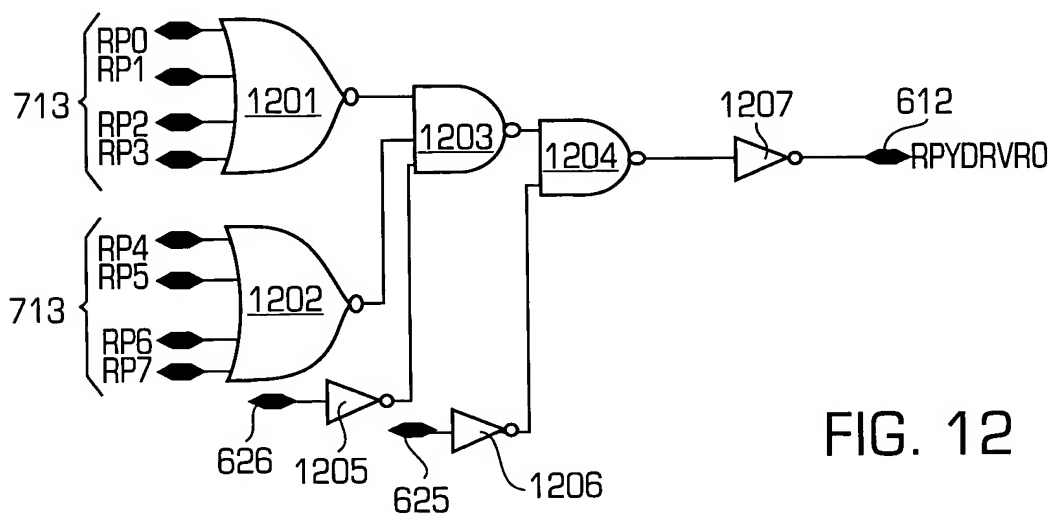


FIG. 12

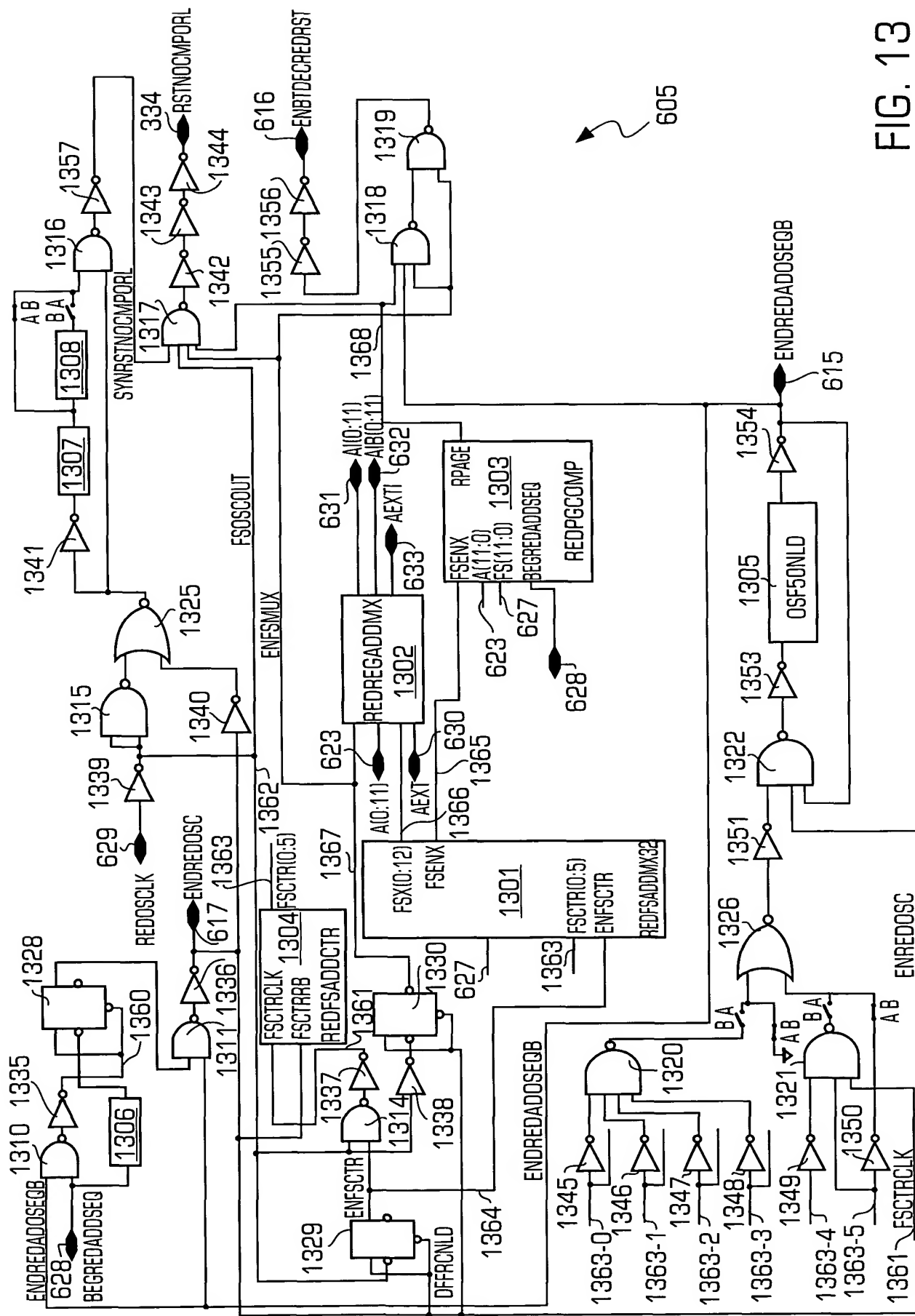


FIG. 13

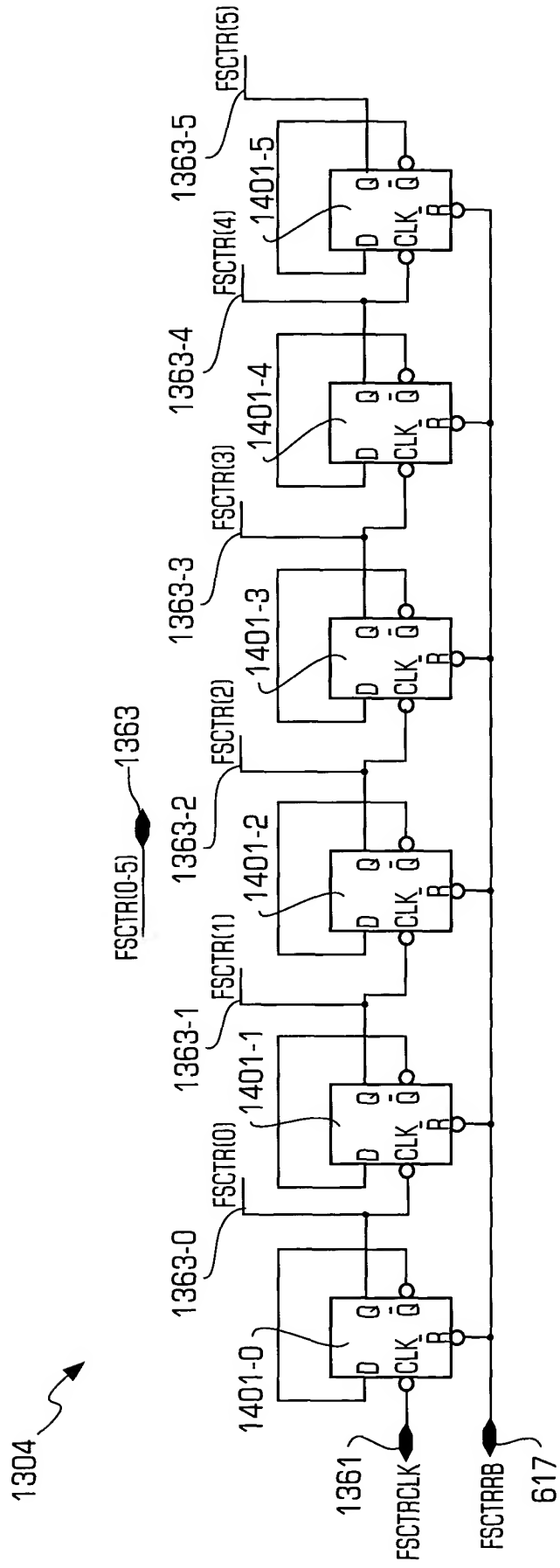
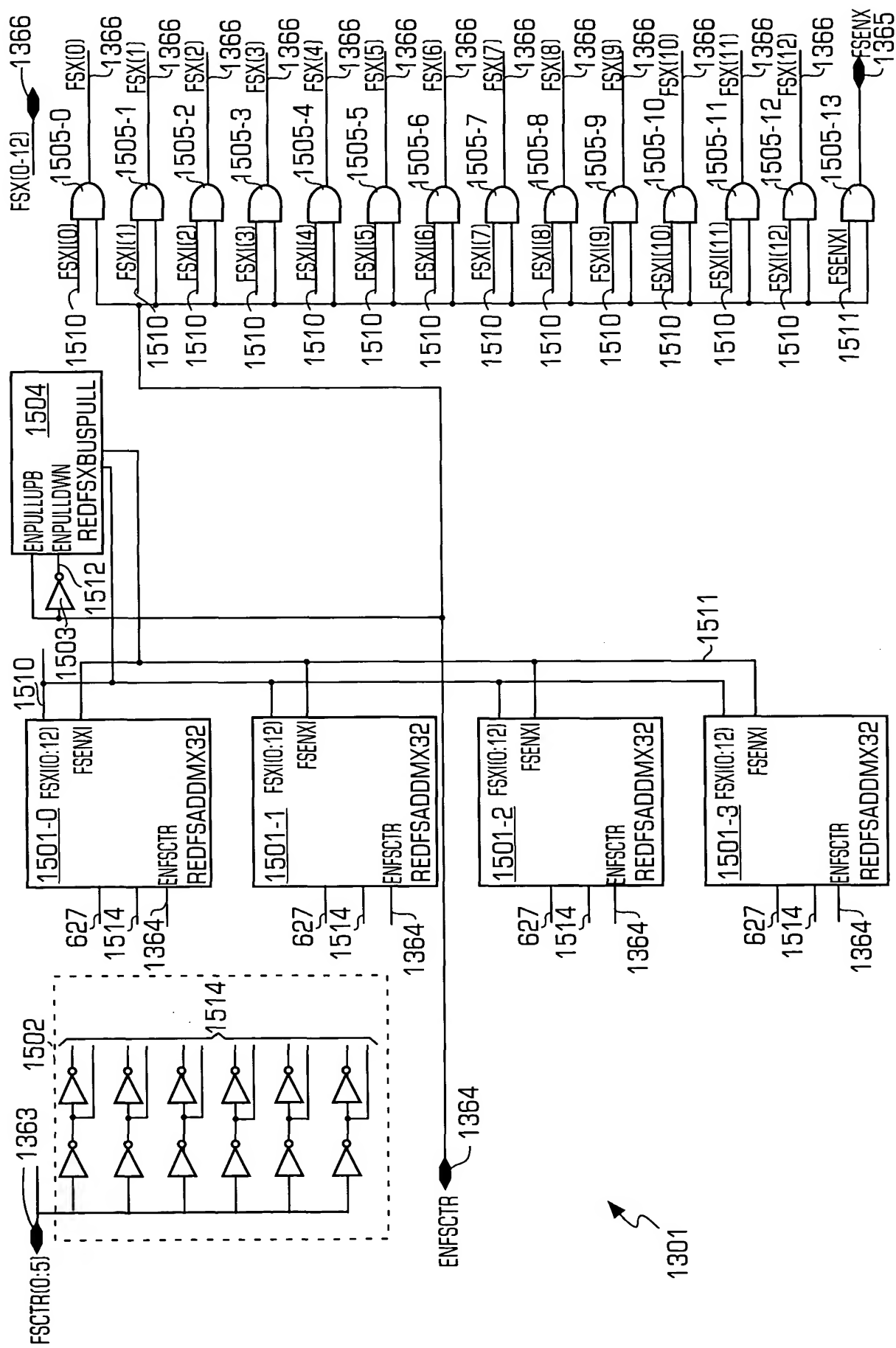


FIG. 14



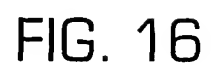
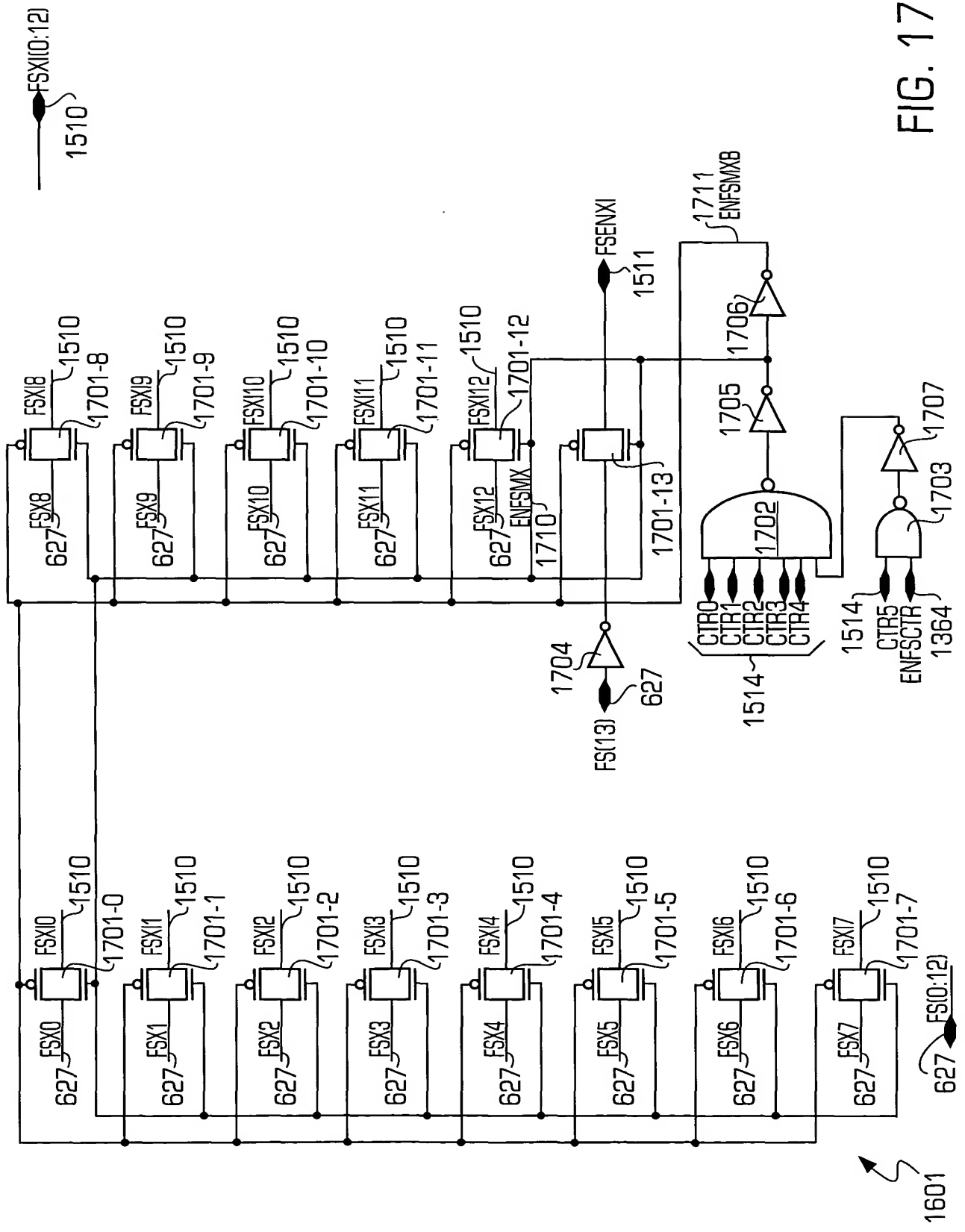


FIG. 16



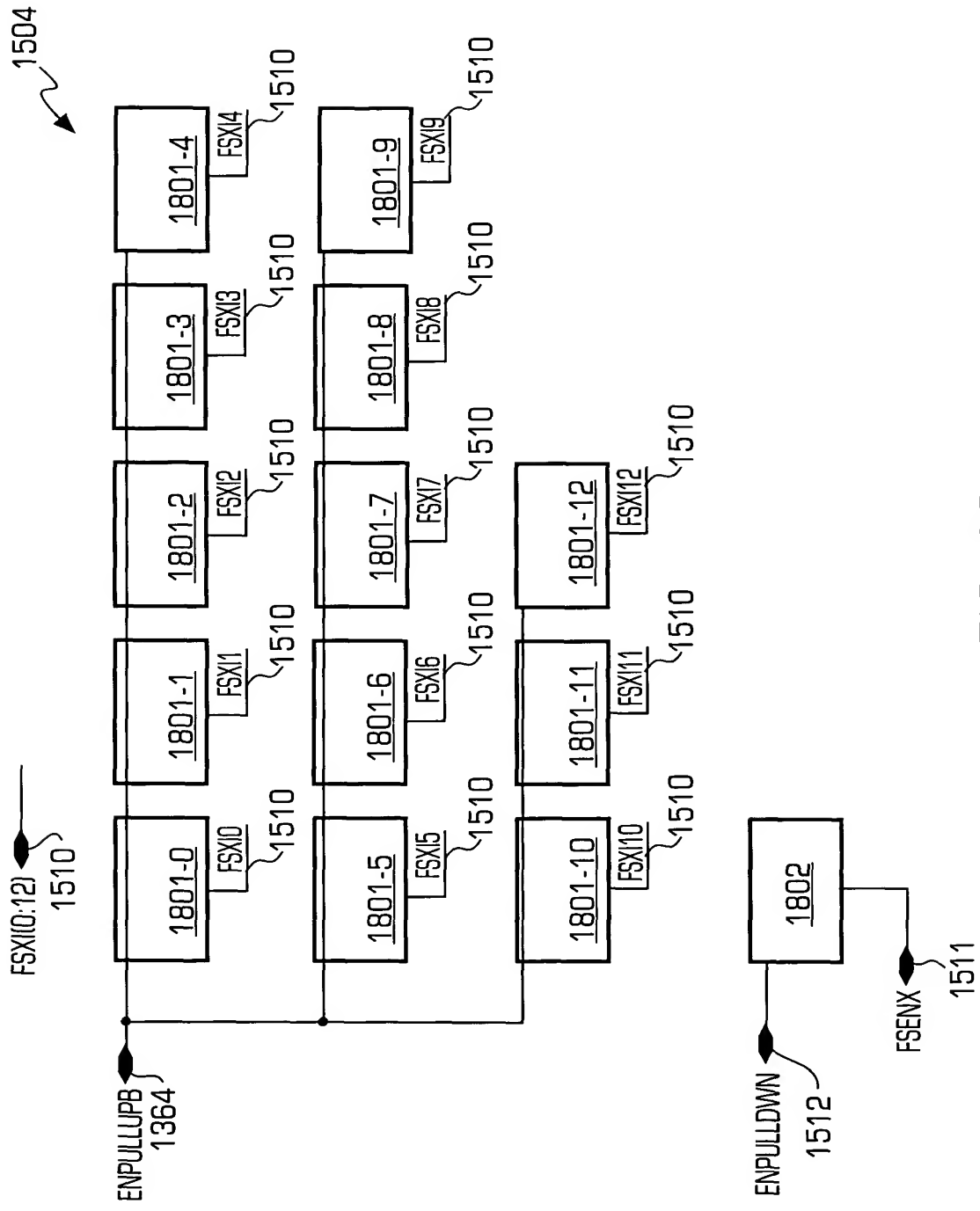


FIG. 18

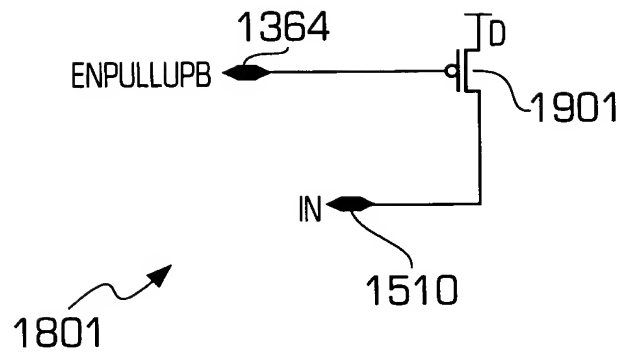


FIG. 19

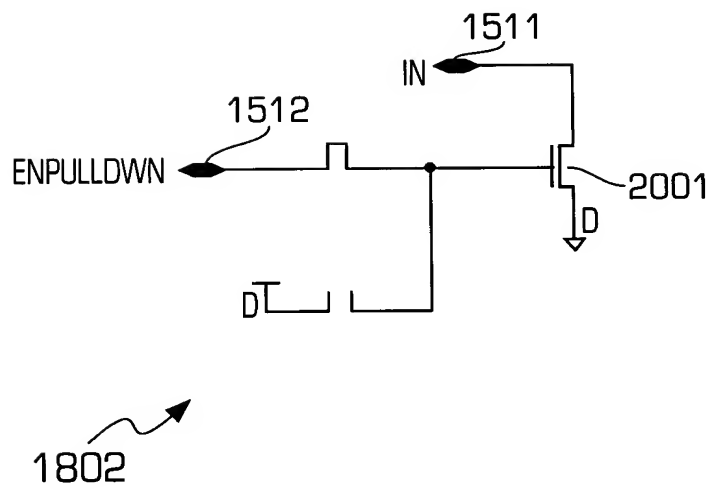


FIG. 20

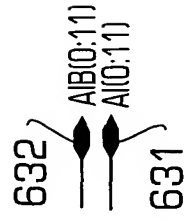
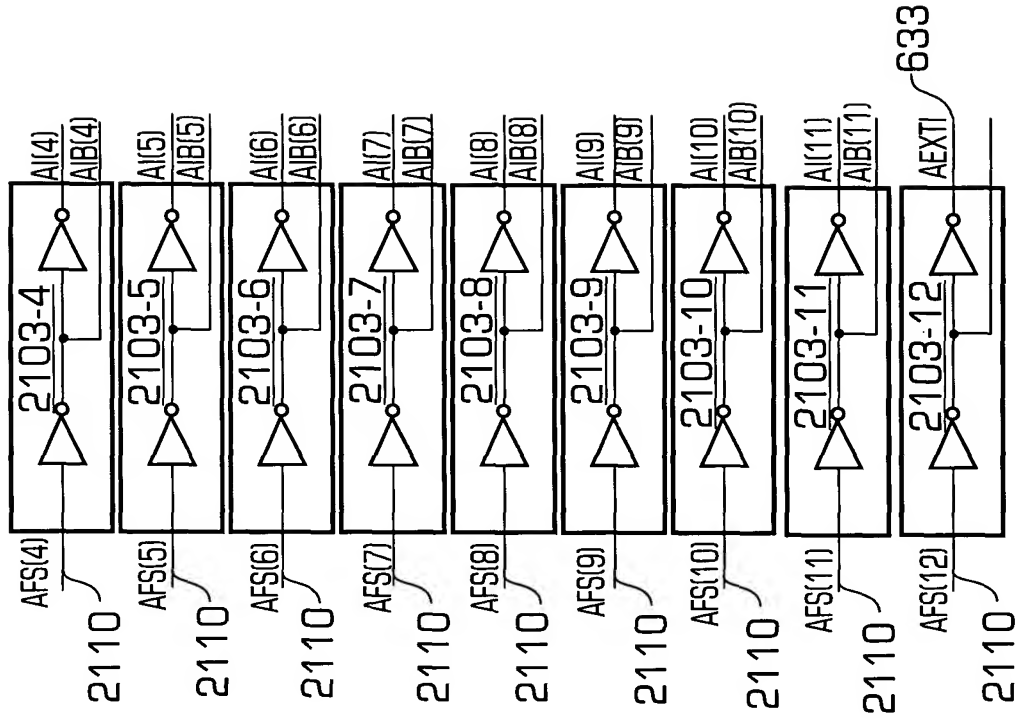
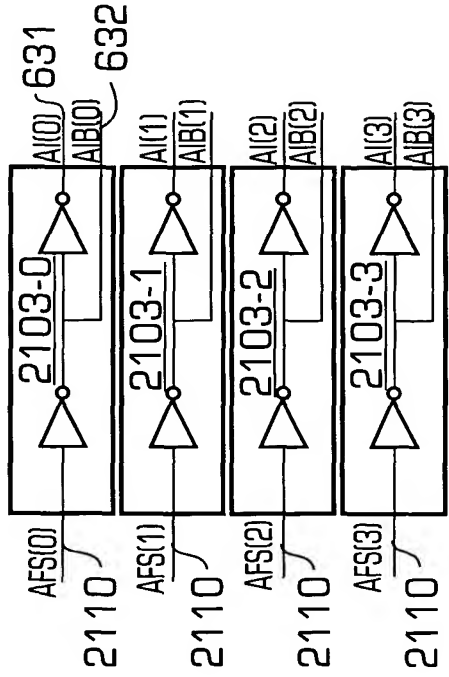
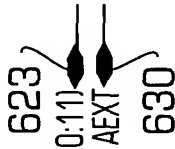
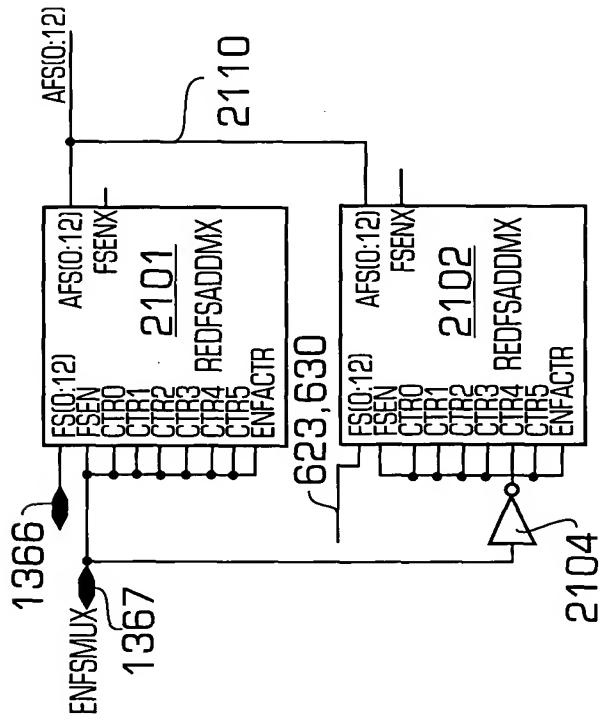
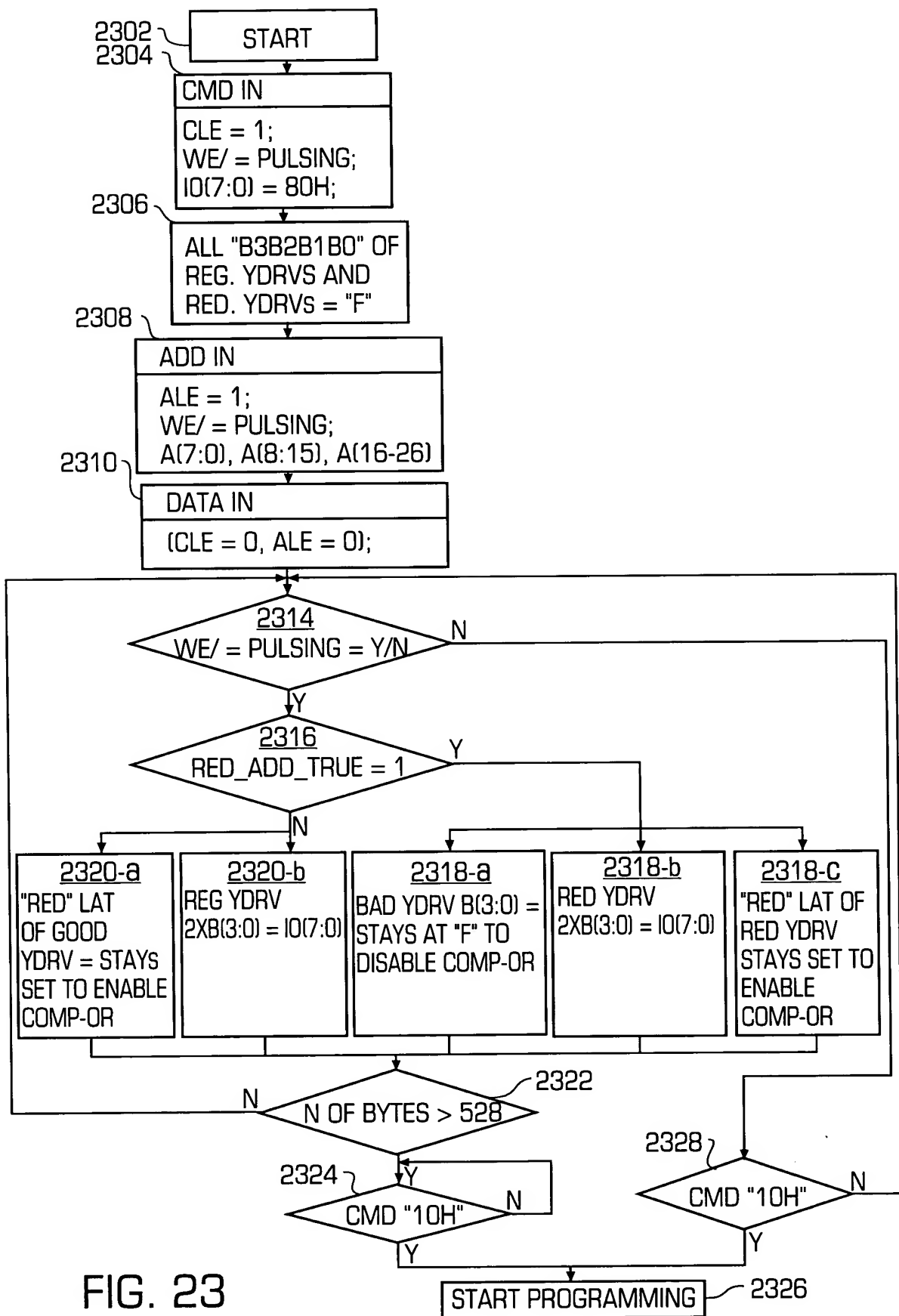


FIG. 21



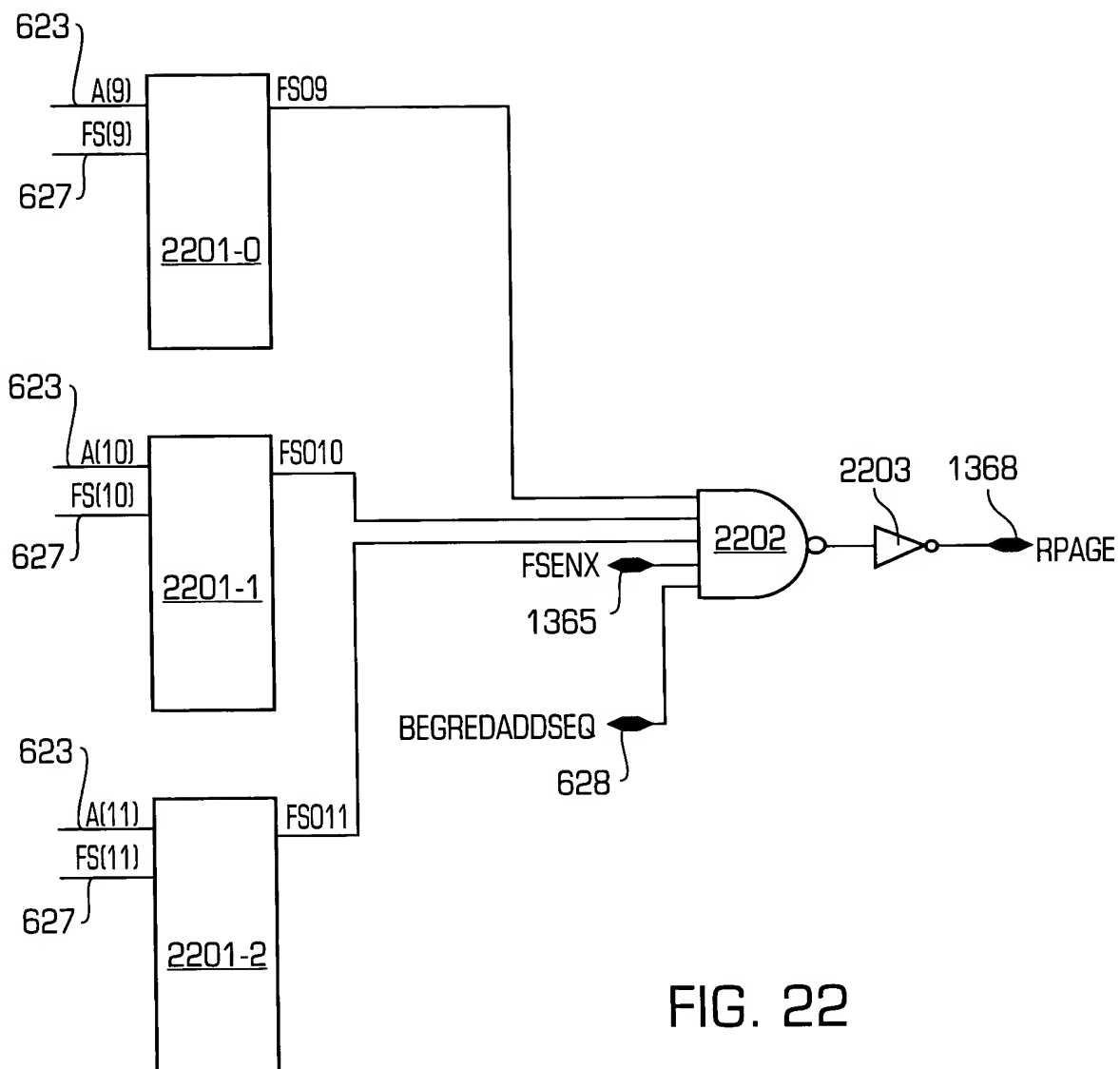


FIG. 22

A(11:0) —  
 FS(11:0) —

1303 ↗

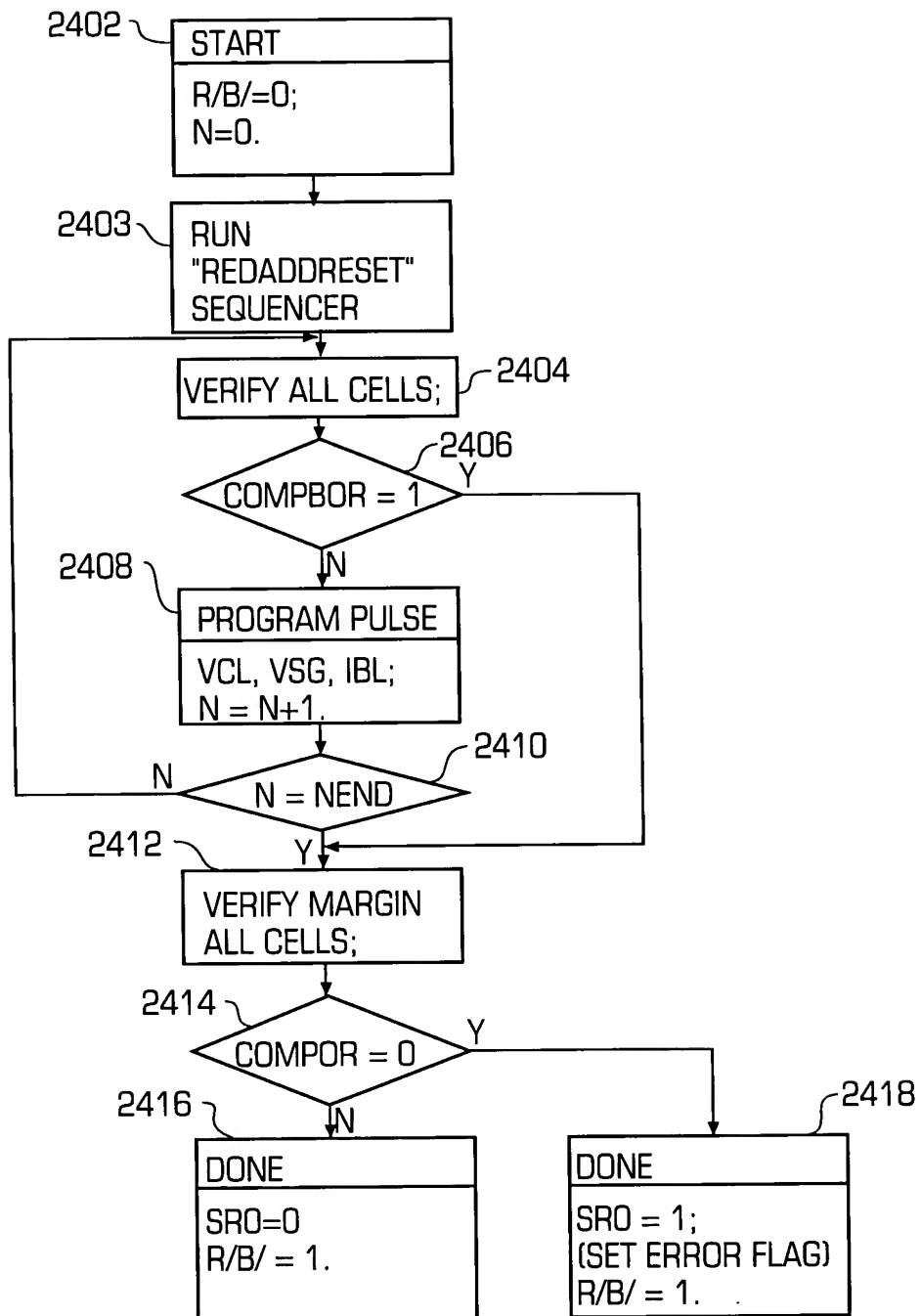


FIG. 24

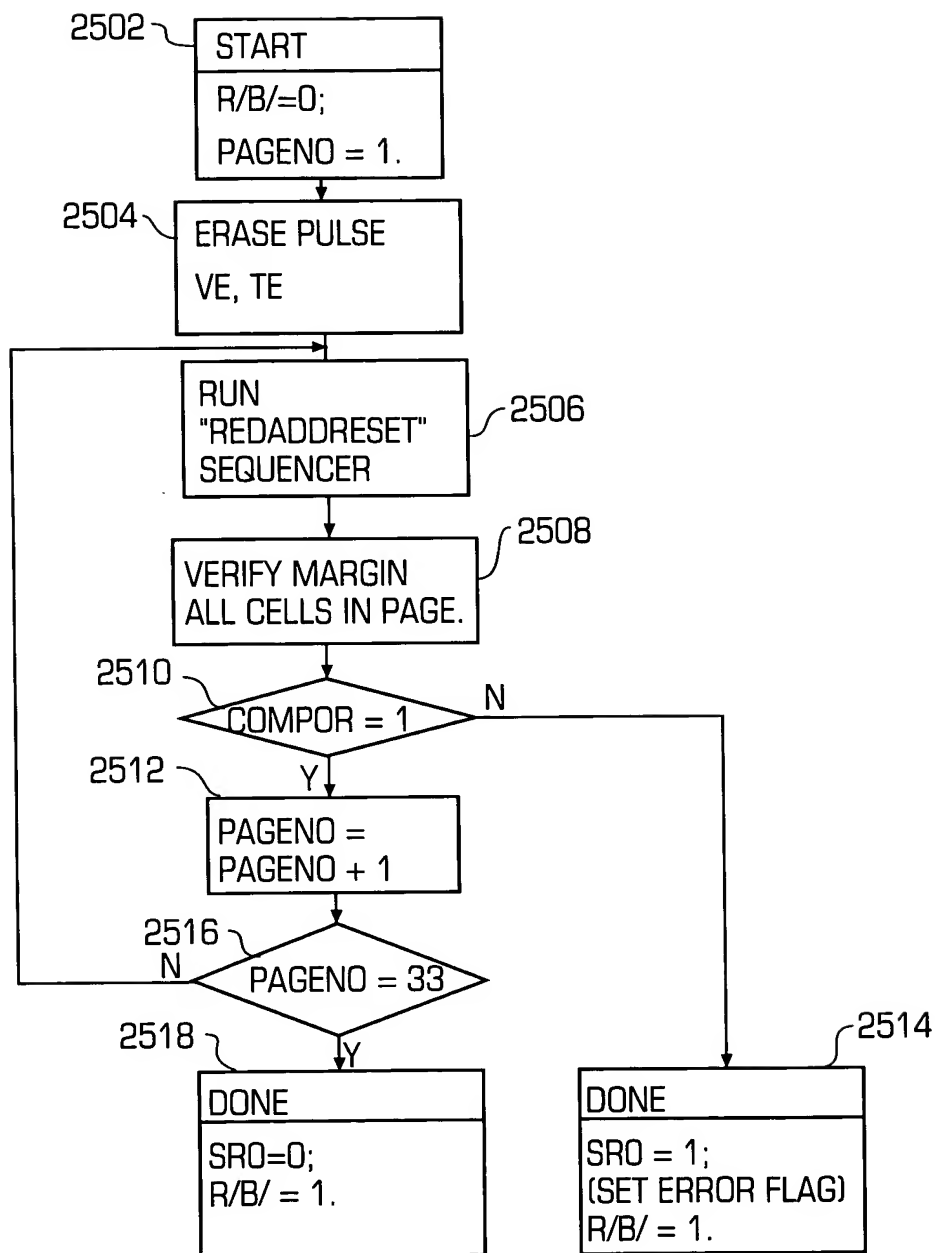


FIG. 25

FIG. 26

